

日本物理学会 第55会年会

平成12年9月25日 於新潟大

荷電粒子トラップ中の 水素負イオン・陽子雲の 状態とその制御

市岡 利康^{A,C}、檜垣 浩之^A、吉城Franzén 健^A、王志剛^A、
黒田 直史^A、堀 正樹^B、大島 永康^C、Újbári Balázs^E、
黒木 健郎^D、毛利 明博^C、小牧 研一郎^A、山崎 泰規^{A,C}

東大院総合^A、東大院理^B、理研^C、デブレツェン大^D、科警研^E

ASACUSA



Trap group



(1) ASACUSA トラップ

(設計思想・性能)

(2) 回転電場による

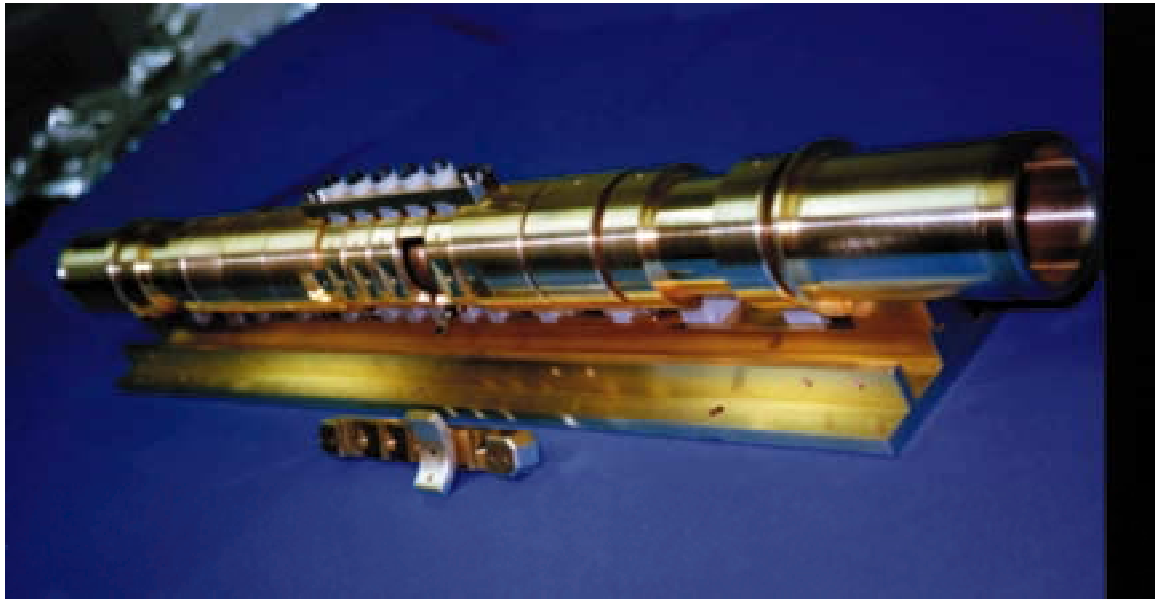
電子プラズマの制御

(3) H⁻イオンの閉じ込めと電子冷却

(4) 回転電場による陽子雲の制御

(5) まとめ、今後の実験計画

ASACUSA トラップデザイン



Requirements	solutions
<ul style="list-style-type: none"> * Stable storage and cooling of 10^{6-8} antiprotons * Monitoring of plasma modes 	<ul style="list-style-type: none"> # Penning type trap # Harmonic potential well # 10μm precision # Gold plating
<ul style="list-style-type: none"> * Pulse length of 50keV antiprotons from the RFQ = 300ns 	<ul style="list-style-type: none"> # Trap length = 50cm (Harmonic region = 10cm)
<ul style="list-style-type: none"> * Vacuum in the magnet bore ~ 10^{-12} Torr or better 	<ul style="list-style-type: none"> # Oxygen free copper # AlN (high thermal conductivity)
<ul style="list-style-type: none"> * Injection from RFQ * Extraction of stored antiprotons * $n_e + n_p < 6.6 \times 10^{10}$ (Brillouin limit of \bar{p}) 	<ul style="list-style-type: none"> # Cylindrical electrodes # Central harmonic potential region ~ 10cm
<ul style="list-style-type: none"> * Control of plasma shape and density by rotational RF field 	<ul style="list-style-type: none"> # One segmented electrode
<ul style="list-style-type: none"> * System control from outside the area 	<ul style="list-style-type: none"> # LabView + GPIB + CAMAC

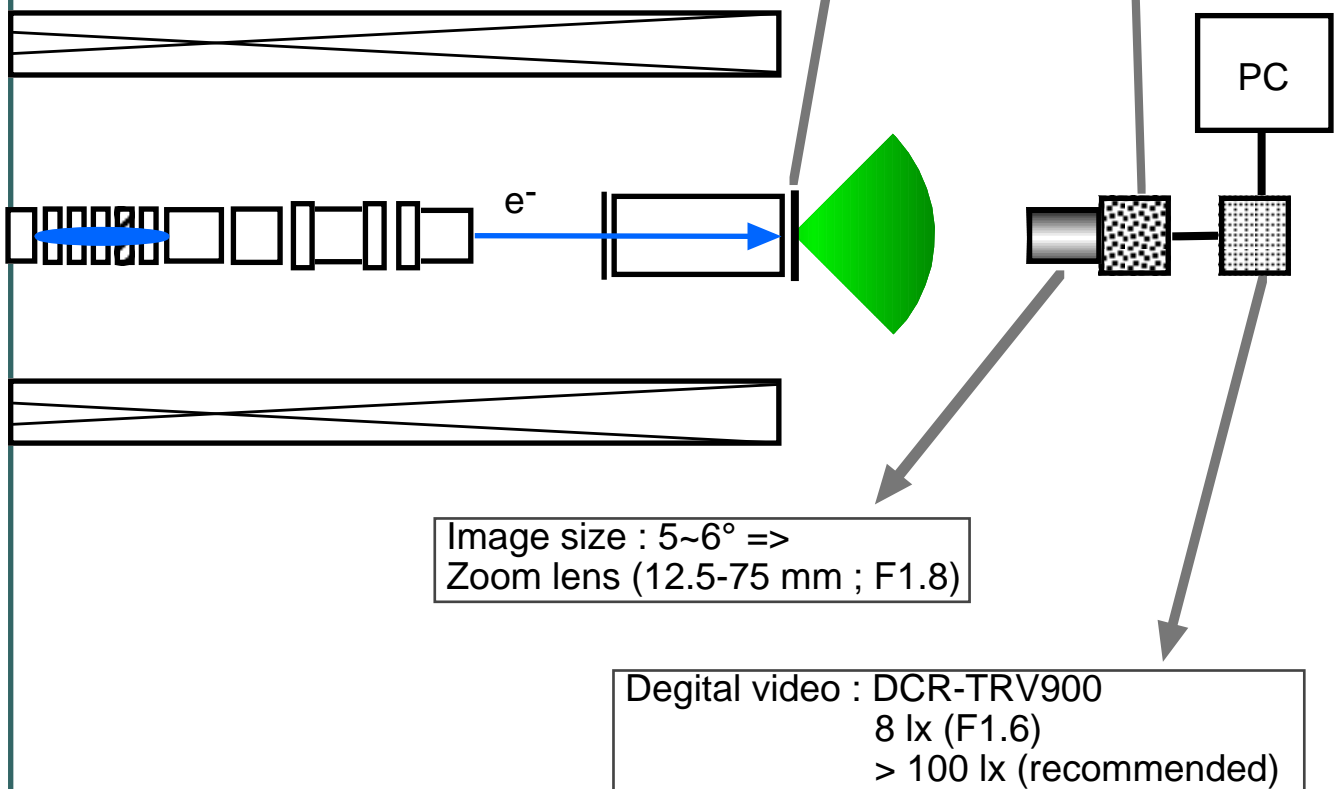
蛍光膜とCCDカメラによるプラズマ像の観測



- * ZnO (light emitter)
- * ITO (transparent ; electrically conductive)
- * CCD (image monitoring)

CCD : Rox 40 (1/2 inch)
0.005 lx (F1.2, normal mode)
0.0005 lx (F1.2, high sensitive mode)

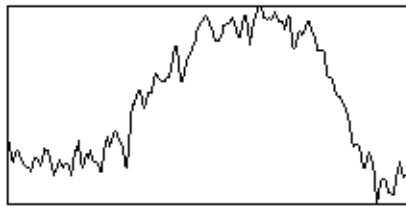
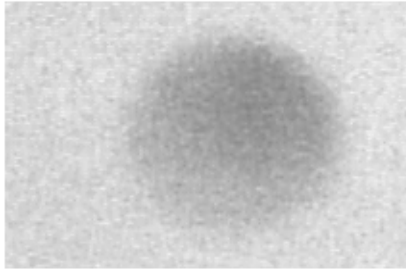
ZnO : emmision peak at 505nm
1/10 decay time : 4~500 ns
ITO : $\square 10\Omega$
transmission = 87% at 500nm
can also be used as a F.C.



回転電場による電子プラズマの制御

number of electrons $\sim 1.1 \times 10^8$, 1inch off axis
 pressure outside the cryogenic region $\sim 3.5 \times 10^{-9}$ Torr
 rotating field : 60 sec wait after the injection of electrons
 voltage swept from 500kHz to 3MHz, 1.0V in 15sec

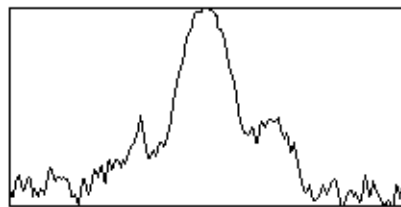
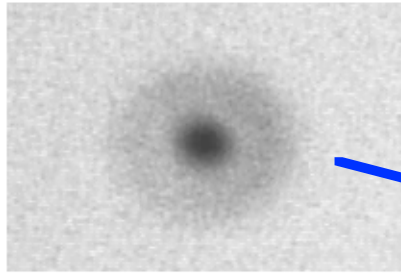
witout rotating field



0

21.6mm

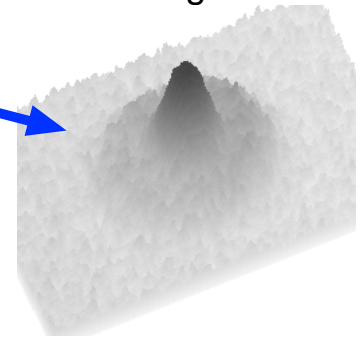
with rotating field



0

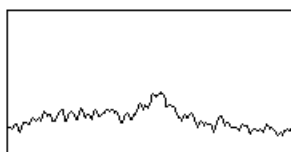
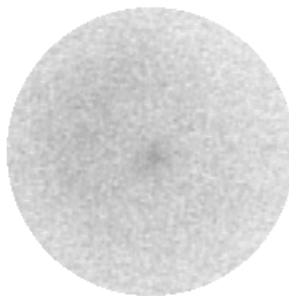
21.5mm

3D image



number of electrons $\sim 1.3 \times 10^8$, 2inch off axis
 pressure outside the cryogenic region $\sim 1.6 \times 10^{-9}$ Torr
 rotating field : 60 sec wait after the injection of electrons
 120 sec rotating field at 2MHz, 0.5V

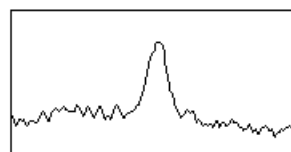
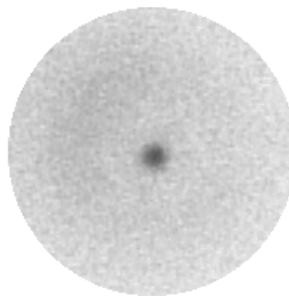
30 sec



0

17.9 mm

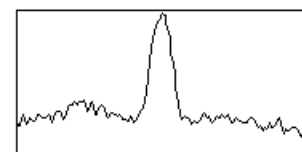
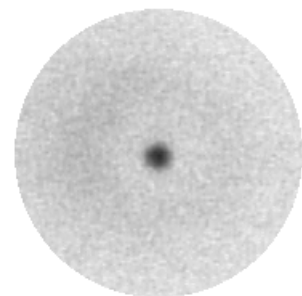
60 sec



0

17.9

120 sec



0

17.9

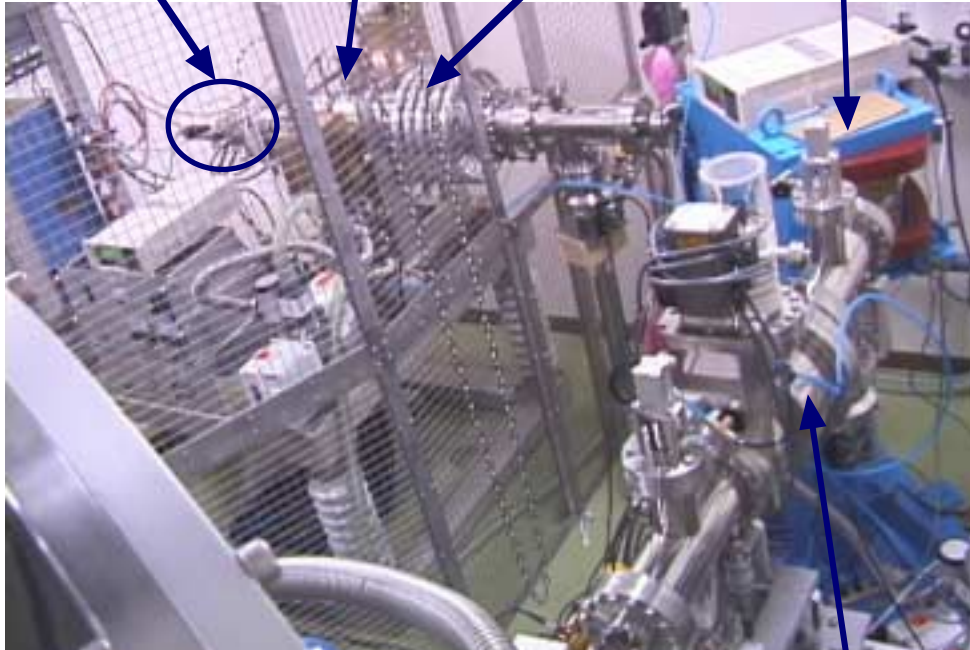
陽子・水素負イオンビームライン

Duoplasmatron
Ion source

Einzel lens
Beam chopper

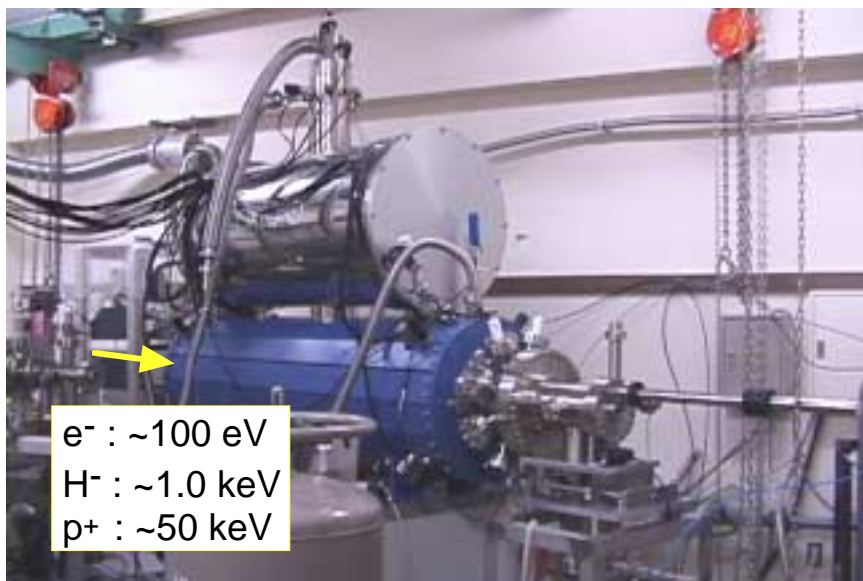
Acceleration tube

Dipole magnet



to the Trap

Einzel lens



e^- : ~100 eV
 H^- : ~1.0 keV
 p^+ : ~50 keV

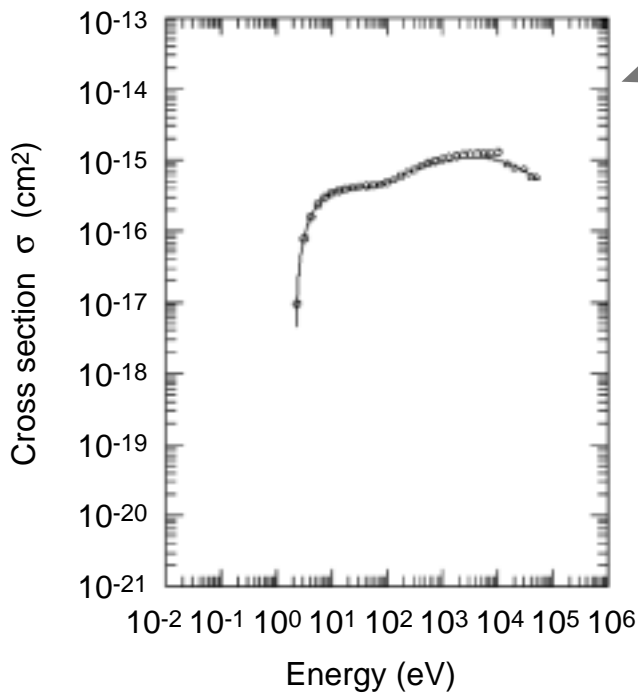
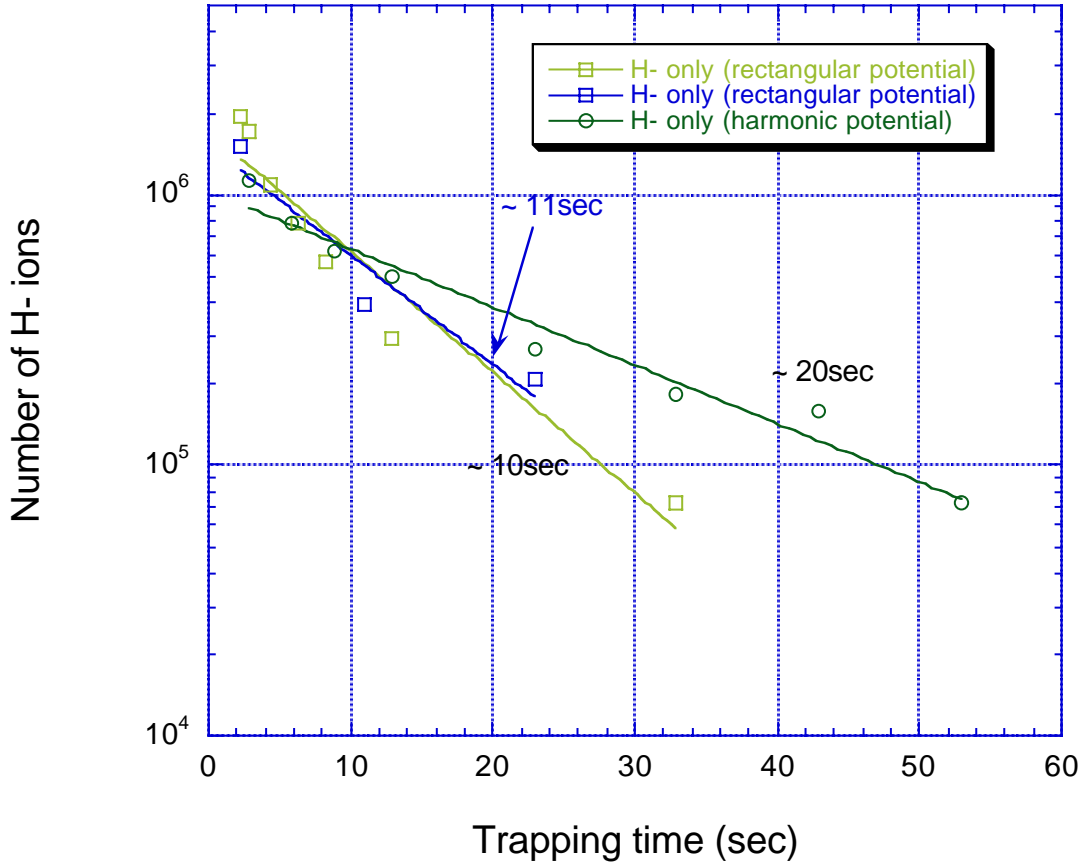
ASACUSA



Trap group

H⁻ イオンの閉じ込め

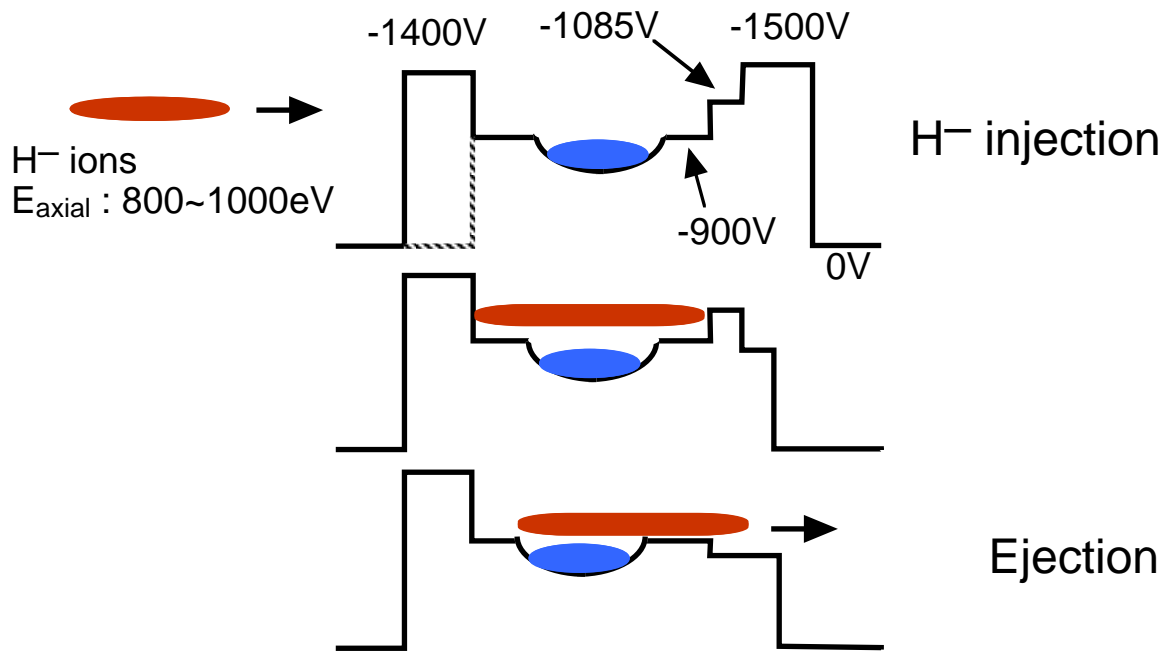
Confinement time of H⁻ ions



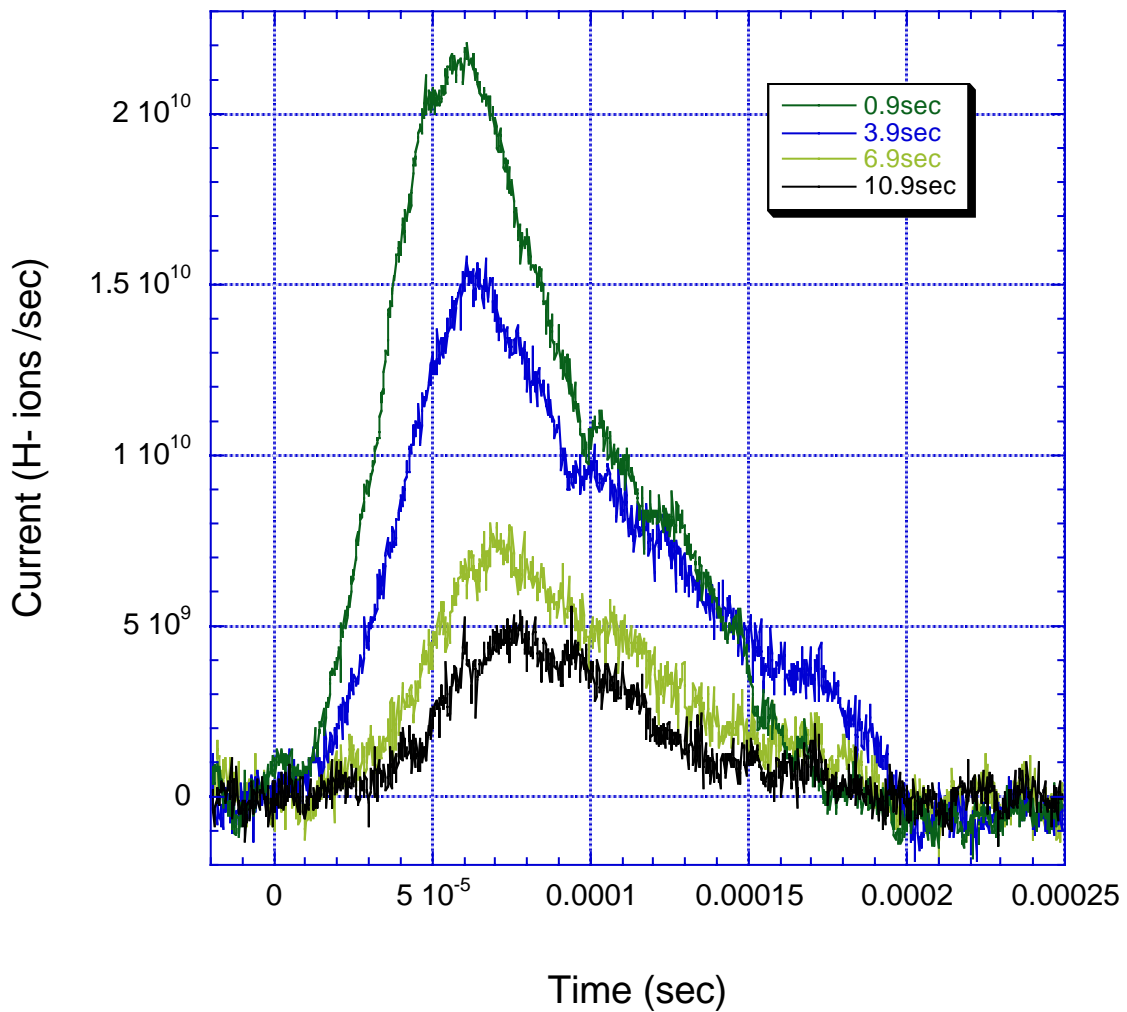
Cross section for a process
 $H^- + H_2 \rightarrow H + H_2 + e^-$
 Tabata T. and Shirai T.,
*Atomic Data and
 Nuclear Data Tables* 76 ('2000)

- * cross section : $\sigma \sim 10^{-15} \text{ cm}^2$ at 100eV
 - * density of residual hydrogen
 : $n \sim 10^6 \text{ cm}^{-3}$ at 10K, 10^{-12} Torr
 - * velocity of H⁻ ions : $v \sim 2 \times 10^7 \text{ cm s}^{-1}$ at 100eV
- lifetime of H⁻ ions ~ 50sec

H⁻ イオンの閉じ込め 2



Extracted H⁻ ions (only H⁻ ions are trapped)



H⁻ イオンの電子冷却 1

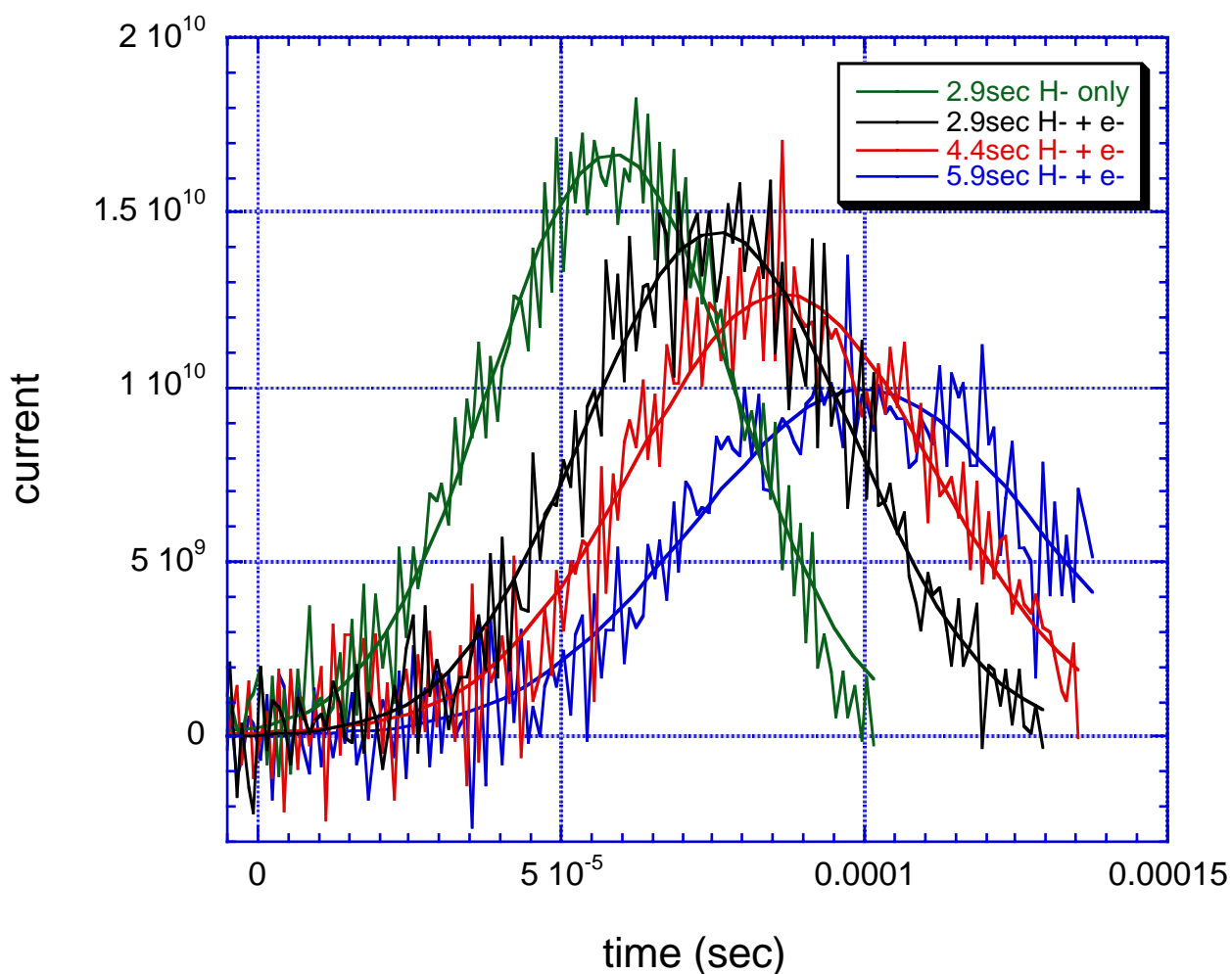
ASACUSA



Trap group

H⁻ ~ 2x10⁶ for H⁻ only, 2.9 sec trapping
e⁻ ~ 1.5x10⁸, loaded 70 sec before H⁻ injection

Time distribution of extracted H⁻ ions



H⁻ イオンの電子冷却 2 (電子プラズマの温度)

ASACUSA

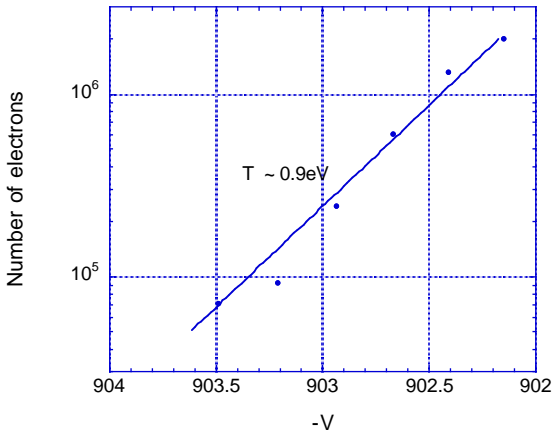


Trap group

measured

calculated

e⁻ only (before H⁻ injection)



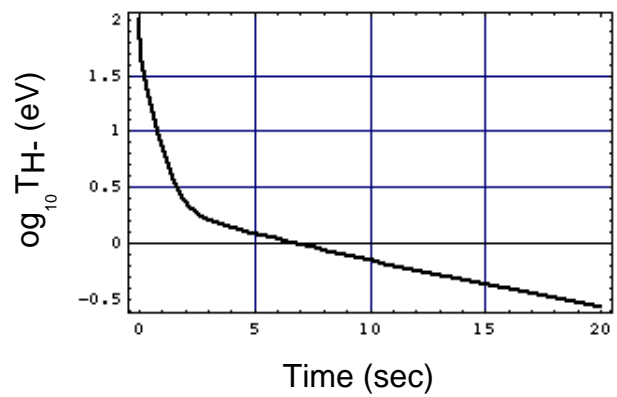
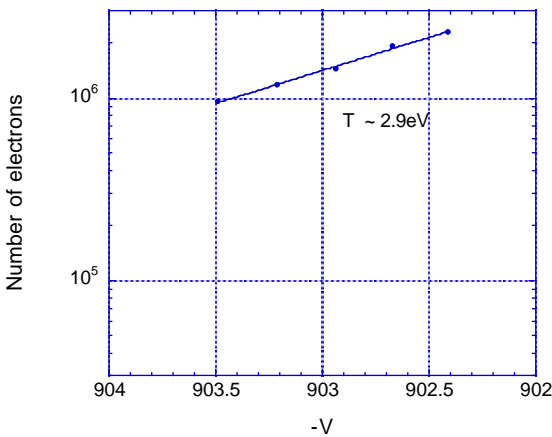
$$\left[\begin{aligned} \frac{dT_{H^-}}{dt} &= \nu_{H^-e}(T_e - T_{H^-}) \\ \frac{dT_e}{dt} &= \nu_{eH^-}(T_{H^-} - T_e) - T_e A \\ A &= \frac{8}{B[T]} \end{aligned} \right.$$

Magnetic field : 1T

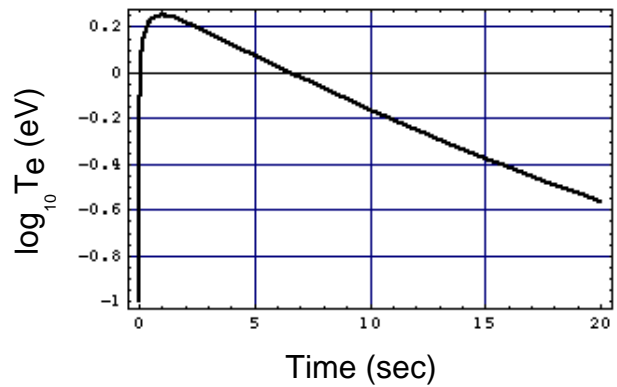
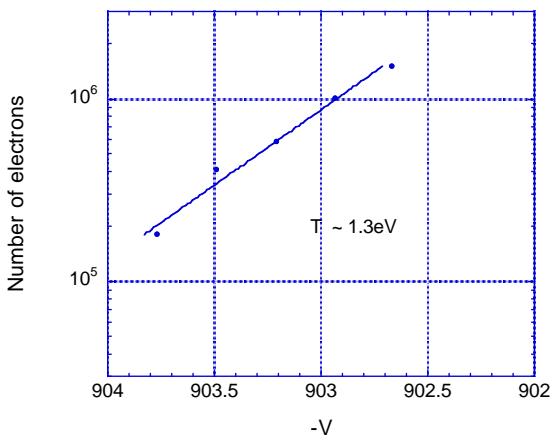
$$n_{H^-} = 1 \times 10^6 / \text{cm}^3, n_e = 5 \times 10^7 / \text{cm}^3$$

$$T_{H^-}(0) = 100 \text{ eV}, T_e(0) = 0.1 \text{ eV}$$

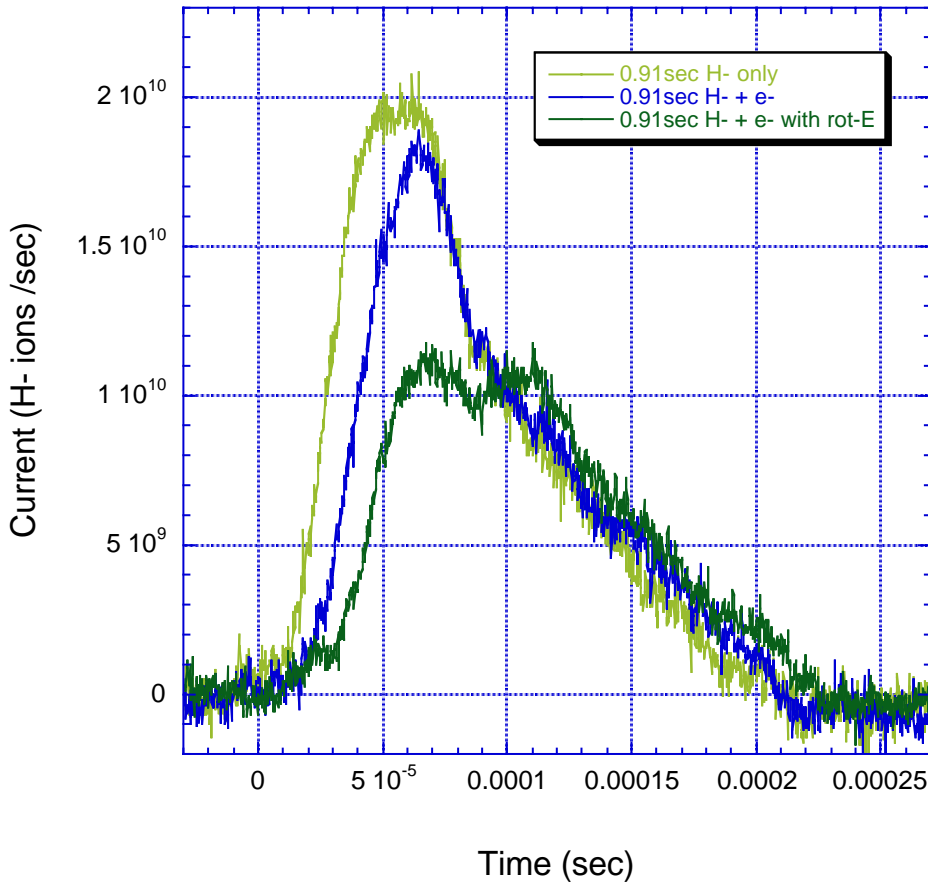
H⁻ + 2.9 sec trapping



H⁻ + 5.9 sec trapping



H⁻ イオンの電子冷却 3

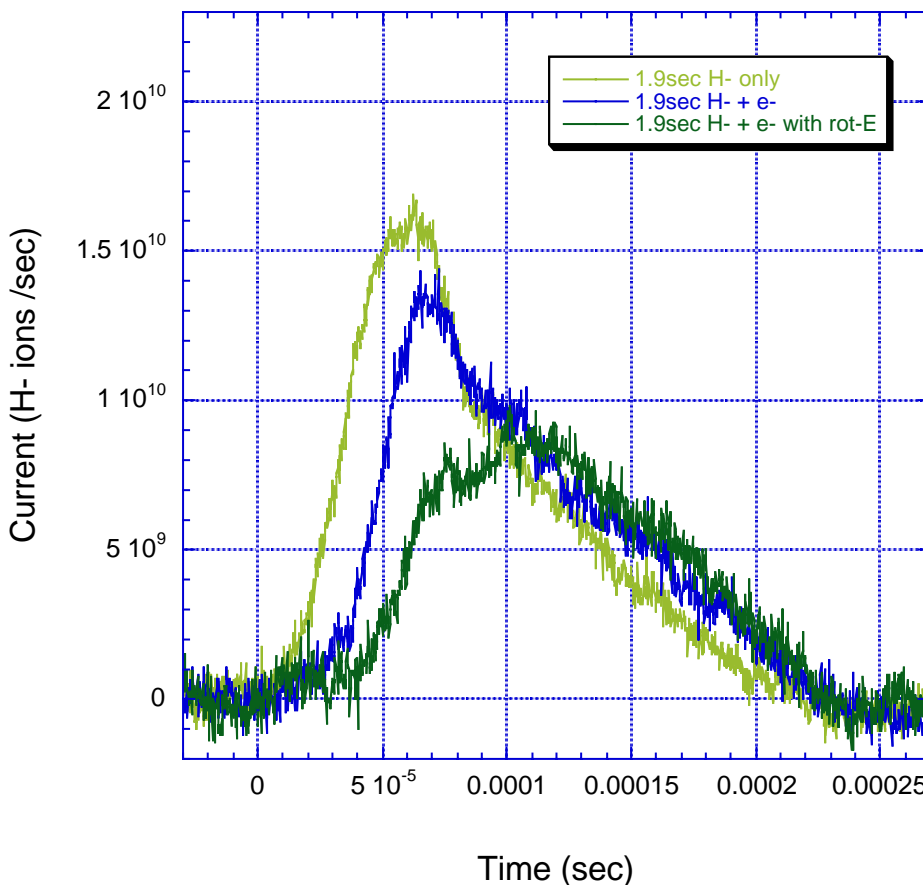


0.9sec cooling

H⁻ ~ 2x10⁶
e⁻ ~ 9x10⁷

no rot-E :
(1) e⁻ loaded 70sec
before H⁻ injection

with rot-E :
(1) 60sec wait
(2) 120sec rotating field
at 2MHz, 0.5V
(3) 30 sec wait
before H⁻ injection



1.9sec cooling

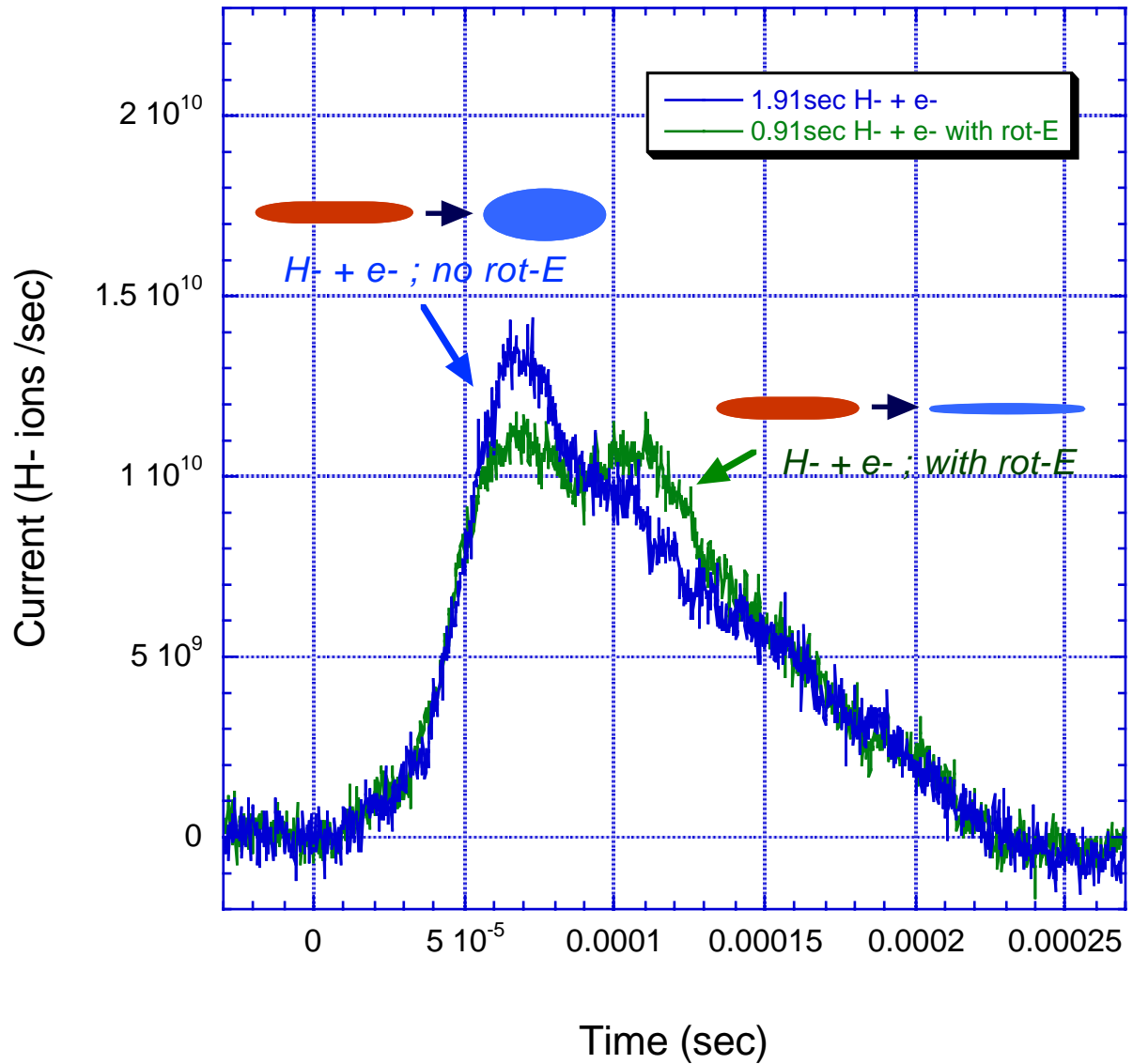
H⁻ ~ 2x10⁶
e⁻ ~ 9x10⁷

no rot-E :
(1) e⁻ loaded 70sec
before H⁻ injection

with rot-E :
(1) 60sec wait
(2) 120sec rotating field
at 2MHz, 0.5V
(3) 30 sec wait
before H⁻ injection

H⁻ イオンの電子冷却に対する回転電場の効果

0.91sec with rot-E - 1.91sec without rot-E



H⁻ ~ 2x10⁶

e⁻ ~ 9x10⁷

no rot-E : electrons loaded 70 sec before H⁻ injection

with rot-E : 60 sec wait

120 sec rotating field at 2MHz, 0.5V

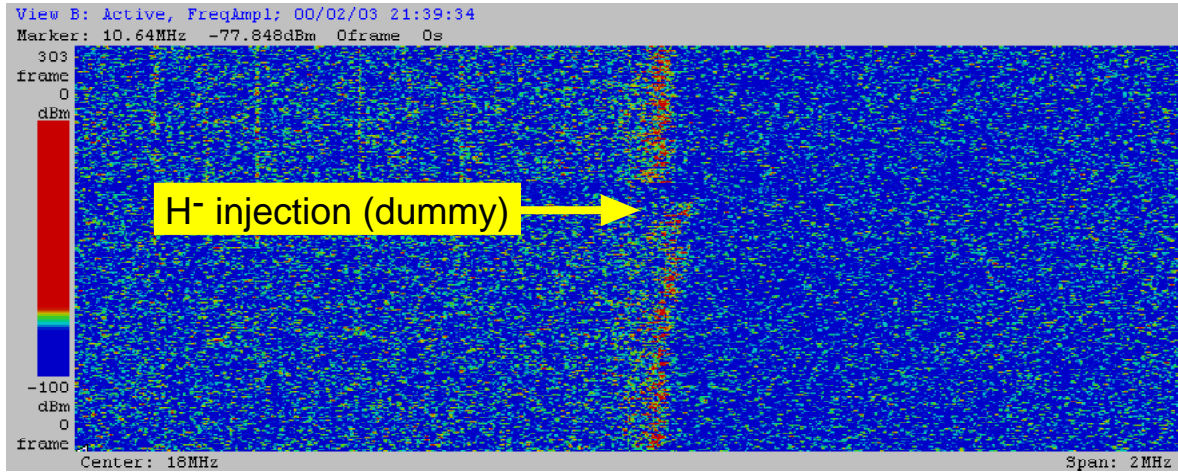
30 sec wait before H⁻ injection

(2,0) modes による温度モニターの可能性



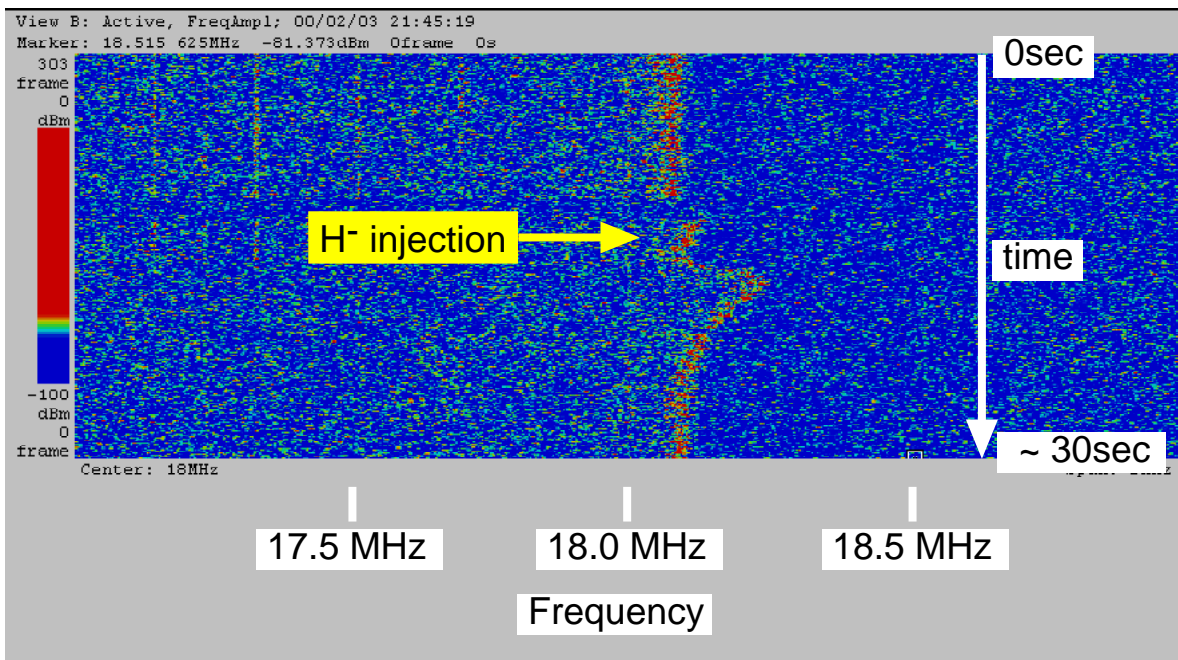
(2,0) mode ; no H^-

A plasma of 1×10^8 electrons.

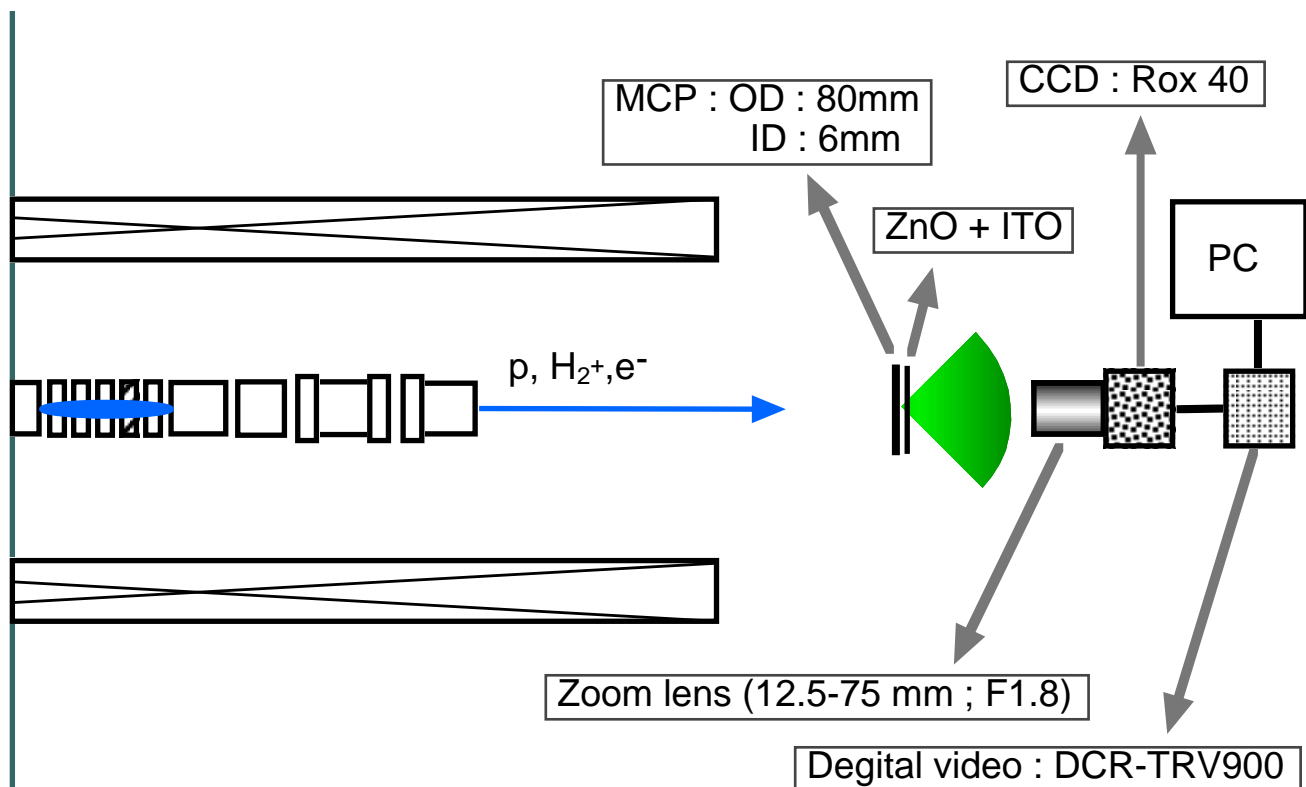


(2,0) mode ; with H^-

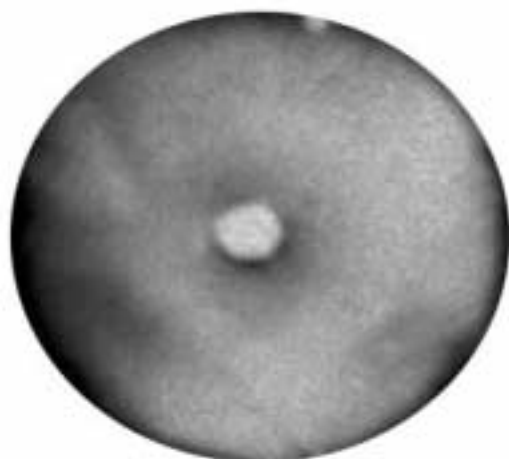
5×10^7 H^- ions injected into a plasma of 1×10^8 electrons.



回転電場による陽子雲の制御

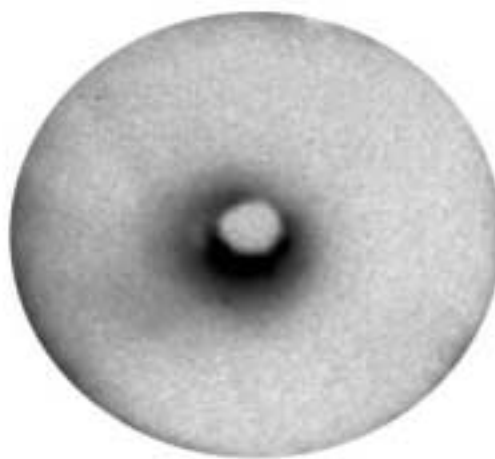


witout rotating field



number of protons $\sim 1.3 \times 10^6$
trapping time : 300sec

with rotating field



H₂⁺ kicked out
number of protons $\sim 1.3 \times 10^6$
rotating field : 200sec at 250kHz, 1.6V

まとめと今後の実験計画

- (1) 超低速反陽子ビームの生成のための
ASACUSA trapping system の開発
 - Multi-ring harmonic trap
(harmonic region ~ 10cm : 大容量)
10^{6~8} 個の反陽子の電子冷却
プラズマの状態のモニターと制御
- (2) 回転電場による電子プラズマの制御
 - $\phi < 2\text{mm}$
- (3) 水素負イオンの電子冷却
 - (2,0) mode が温度計として使える可能性あり
- (4) 回転電場による陽子プラズマの制御
 - パラメーターが見つかりつつある



- (a) 10~50keV 陽子の捕獲と電子冷却
- (b) プラズマの形状を整形した後の、ビームとしての引き出し (パルス幅 1 μ sec - DC)
- (c) プラズマの状態の非破壊測定法の整備